

I-9 表面加振される不均一弾性体の動的応答解析

大鑿建設 正員 口井上 聖
 北見工業大学 同 大島俊之
 北大工学部 同 能町鈴雄

1. まえがき

本研究は弾性体中に深さ方向に連続的な弾性定数、密度の異なる複数材の等間隔、等断面積で配置された構造を対象として、その表面に部分分布する加振力が作用した場合、その動的応答がどのようになるかを検討したものである。このような構造の例としては実際には複合材料部材や杭が等間隔で配置された基礎などがあげられる。

理論式は動的フーリエ4要素法を用い、定和分換と有限フーリエ変換およびその逆変換を利用して、表面の境界条件を満足するように各変位成分の動的応答を求める方法によった。数値計算では加振周波数と動的応答倍率の実測を支柱および逆対称荷重の場合について求めた。

2. 理論

(1) 不均一弾性体の動的基本式

図1の構造の一部を切り出し、図2のように、補強材の位置を隅角点とするフーリエ4要素に分割する。

動的フーリエ4要素関係式は三次元板小要素の振動方程式を用い、変位成分の要素内分布は一次変形を仮定して、ヤング率法により、747の法則を用ひながら誘導したものである。

節点における動的フーリエ式を誘導する際には、補強材の横抵抗力はTimoshenko Beam作用をするものと見なし、補強材の軸歪剛性、質量とともに、節点に集中して考慮する方法を用いた。

このようにして得られた動的基本式は次のようになる。

$$[IK] \{u\} = [M] \frac{\partial^2}{\partial t^2} \{u\} \quad \cdots (1)$$

ここで $[IK]$, $[M]$ はそれぞれ剛性、質量マトリックスで、図1 不均一弾性体。対称行列であり、次の要素レータによること。

$$k_{11} = \frac{2M+\lambda}{36} \bar{A}_y \bar{A}_z D_x^2 + \frac{M}{6\lambda_2^2} \bar{A}_y \bar{A}_z^2 + \frac{\lambda}{6\lambda_3^2} \bar{A}_z \bar{A}_y^2 + E_s \eta D_x^2 ,$$

$$k_{12} = \frac{M+\lambda}{12\lambda_2} \bar{A}_y \bar{A}_z^2 D_x , \quad k_{13} = \frac{M+\lambda}{12\lambda_3} \bar{A}_z \bar{A}_y^2 D_x , \quad k_{23} = \frac{M+\lambda}{4\lambda_2\lambda_3} \bar{A}_y \bar{A}_z ,$$

$$k_{22} = \frac{M}{36} \bar{A}_y \bar{A}_z^2 D_x^2 + \frac{2M+\lambda}{6\lambda_2^2} \bar{A}_y \bar{A}_z^2 + \frac{M}{6\lambda_3^2} \bar{A}_z \bar{A}_y^2 + M_s K_s \eta D_x^2$$

$$k_{33} = \frac{\lambda}{36} \bar{A}_y \bar{A}_z^2 D_x^2 + \frac{2M+\lambda}{6\lambda_3^2} \bar{A}_z \bar{A}_y^2 + \frac{M}{6\lambda_2^2} \bar{A}_z \bar{A}_y^2 + M_s K_s \eta D_x^2$$

$$k_{2q} = M_s K_s \eta D_x , \quad k_{35} = k_{2q} , \quad k_{4q} = k_{55} = -D_x^2 E_s K_s^2 + M_s K_s$$

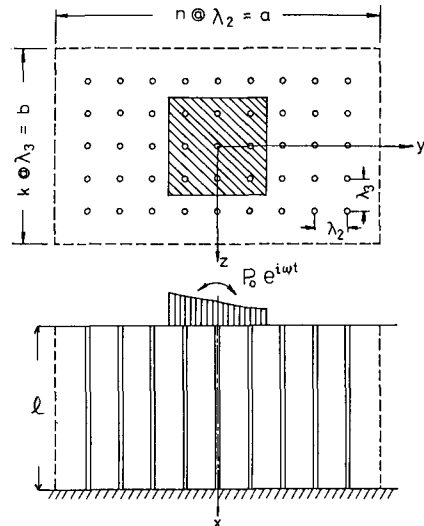


図1 不均一弾性体。

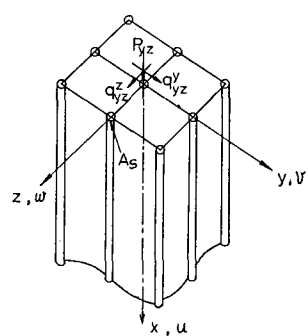


図2 表面のフーリエ4要素。

$$m_{11} = m_{22} = m_{33} = \frac{p}{36} \bar{D}_z^2 \bar{D}_y^2 + p_s \eta, \quad m_{44} = m_{55} = -p_s r_s^2$$

$\zeta u \zeta^T = \zeta U_{yz}, V_{yz}, W_{yz}, -\theta_{yz}^x, -\theta_{yz}^y \zeta$, μ, λ は Lamé の定数, p は密度,
 $\bar{D}^2 = 4^2 + b$, $4^2 f(y) = f(y+1) - 2f(y) + f(y-1)$, $-4f(y) = f(y+1) - f(y-1)$

$p_s, \mu_s, \kappa_s, E_s, r_s$ はそれぞれ補強材の密度, せん断弹性係数, 壓縮弹性係数, 弹性係数, 回転半径を表すパラメータ。

(2) 定和分変換と有限要素法。

構造は表面の加振力と同じ位相で振動するものとし、また式(1)の各変位成分は x 方向には連続関数, y, z 方向には離散関数であらわされるが、次のようにおく。

$$\left. \begin{aligned} U(x, y, z; t) &= \frac{8}{\ln k} \sum_i \sum_j \sum_m S_i S_j C_m[U_{yz}] \cos \frac{\max}{2} \sin \frac{i\pi y}{h} \sin \frac{j\pi z}{k} e^{i\omega t} \\ V(x, y, z; t) &= \frac{8}{\ln k} \sum_i \sum_j \sum_m R_i S_j S_m[V_{yz}] \sin \frac{\max}{2} \cos \frac{i\pi y}{h} \sin \frac{j\pi z}{k} e^{i\omega t} \\ W(x, y, z; t) &= \frac{8}{\ln k} \sum_i \sum_j \sum_m S_i R_j S_m[W_{yz}] \sin \frac{\max}{2} \sin \frac{i\pi y}{h} \cos \frac{j\pi z}{k} e^{i\omega t} \\ \theta^x(x, y, z; t) &= \frac{8}{\ln k} \sum_i \sum_j \sum_m R_i S_j C_m[\theta^x_{yz}] \cos \frac{\max}{2} \cos \frac{i\pi y}{h} \sin \frac{j\pi z}{k} e^{i\omega t} \\ \theta^z(x, y, z; t) &= \frac{8}{\ln k} \sum_i \sum_j \sum_m S_i R_j C_m[\theta^z_{yz}] \cos \frac{\max}{2} \sin \frac{i\pi y}{h} \cos \frac{j\pi z}{k} e^{i\omega t} \end{aligned} \right\} \quad (2)$$

したがって式(1)を x 方向に有限要素法変換, y, z 方向に定和分変換を行ない, θ^x, θ^z 項を消去し, θ^y 項のみ消去すれば、次のようになる。

$$[LL] \zeta U \zeta^T = [NI] (\zeta U_B \zeta^T)_{x=0} - (-1)^m \zeta U_B \zeta^T_{x=2} \quad (3)$$

$$[LL] = \begin{bmatrix} a_{11}M^2 + a_{12} & a_{13}M & a_{14}M \\ a_{21}M(a_{22}M^2 + a_{23}) & (a_{24}M^2 + a_{25})(a_{22}M^2 + a_{23}) + a_{26}^2 M^2 & a_{27}(a_{22}M^2 + a_{23}) \\ a_{31}M(a_{32}M^2 + a_{33}) & a_{34}(a_{32}M^2 + a_{33}) & (a_{35}M^2 + a_{36})(a_{32}M^2 + a_{33}) + a_{37}^2 M^2 \end{bmatrix}$$

$$[NI] = \begin{bmatrix} -a_{11} & a_{13} & a_{14} & 0 & 0 \\ 0 & a_{24}M(a_{22}M^2 + a_{23}) - a_{26}^2 M & 0 & a_{22}a_{26}M & 0 \\ 0 & 0 & a_{35}M(a_{32}M^2 + a_{33}) - a_{37}^2 M & 0 & a_{32}a_{37}M \end{bmatrix}$$

$\zeta U \zeta^T = \zeta U_{yz}, V_{yz}, W_{yz} \zeta^T, \zeta U_B \zeta^T = \zeta U_{yz}, V_{yz}, W_{yz}, -\theta_{yz}^x, -\theta_{yz}^y \zeta^T$, 大文字は応答振幅。

$$\begin{aligned} a_{11} &= (C_p^2/C_s^2)\bar{D}_i \bar{D}_j + (C_f^2/C_s^2)\eta, \quad a_{12} = D_i \bar{D}_j / \lambda_2 + D_j \bar{D}_i / \lambda_3 + (\bar{D}_i \bar{D}_j + r_p \eta)(\omega^2/C_s^2), \\ a_{13} &= (C_p^2/C_s^2 - 1) \sin i\pi/n \cdot \bar{D}_i / \lambda_2, \quad a_{14} = (C_p^2/C_s^2 - 1) \bar{D}_i \sin j\pi/k / \lambda_3, \quad a_{21} = a_{13}, \\ a_{22} &= C_f^2 r_s^2 / C_s^2, \quad a_{23} = C_f^2 r_s^2 \omega^2 / C_s^2, \quad a_{24} = \bar{D}_i \bar{D}_j, \quad a_{25} = (C_p^2/C_s^2) D_i \bar{D}_j / \lambda_2^2 \\ &+ \bar{D}_i D_j / \lambda_3^2, \quad a_{27} = (C_p^2/C_s^2 - 1) \sin j\pi/k \sin i\pi/n / \lambda_2 \lambda_3, \quad a_{31} = a_{14}, \quad a_{32} = a_{22}, \\ a_{33} &= a_{23}, \quad a_{34} = a_{27}, \quad a_{35} = a_{24}, \quad a_{36} = (C_p^2/C_s^2) \bar{D}_i D_j / \lambda_3^2 + \bar{D}_j D_i / \lambda_2^2, \quad a_{37} = (C_f^2/C_s^2) r_s \eta \\ a_{37} &= a_{26}, \quad C_s^2 = M/p, \quad r_p = p_s/p, \quad C_f^2 = E_s/p, \quad C_p^2 = \mu_s/\rho, \quad C_p^2 = 2\mu + \lambda/\rho, \\ D_i &= 2(1 - \cos \frac{i\pi n}{h}), \quad D_j = 2(1 - \cos \frac{j\pi k}{L}), \quad \bar{D}_i = 1 - \frac{D_i}{6}, \quad \bar{D}_j = 1 - \frac{D_j}{6}, \quad \eta = A_s/\lambda_2 \lambda_3, \end{aligned}$$

(3) 深さ方向に閉じた周数表示

式(3)を代数的に解けば、各変位成分の像関数が求められ、これを式(2)に代入すれば、荷重成分の応答振幅が表面と下底の境界値で表現される。

$\det[\mathbf{L}] = 0$ の式は M^2 に関する 5 次方程式となるが、その根を数値的に求め、未定係数法により、境界値の位数は部分分数に展開される。さらに無限級数和に関する公式を利用して x 方向には閉じた周数により表現される。

$$\{\bar{\mathbf{U}}\} = [\bar{\mathbf{A}}_{ij}^1(3)] \{\bar{\mathbf{U}}_B\}_{x=0} + [\bar{\mathbf{A}}_{ij}^2(3)] \{\bar{\mathbf{U}}_B\}_{x=L} \quad \text{--- (4)}$$

左端 $[\bar{\mathbf{A}}_{ij}^1]$, $[\bar{\mathbf{A}}_{ij}^2]$ は 5×5 の係数行列であり、 $x(3=x/L)$ の間に連続周数が並ぶべきである。

(4) 境界条件

x 平面、 y 平面上平行な 4 つの側面、および $x=L$ の底面では、面上垂直な方向の変位が存在し、他の変位は存在しない状態を仮定する。すなはち境界条件の取扱いが簡単となるが、 $=0$ 条件には 4 つの場合の単純支持端と同じ拘束条件となる。

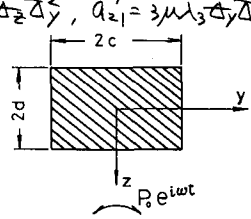
表面では次の条件を考える。

$$T_{xz}|_{x=0} = P_{yz}, \quad T_{xy}|_{x=0} = q_{yz}, \quad T_{xz}|_{x=L} = q_{yz}^2 \quad \text{--- (5)}$$

左端 P_{yz} , q_{yz} , q_{yz}^2 は表面への垂直荷重、せん断荷重と節点での力に離散化したものである。また補強材の上表面上には今度 $-x=L$ に荷重が作用しないものと θ_{yz} , θ_{yz}^2 の切妻を無視する。式(5)を離散化して示せば次のようになる。

$$\begin{aligned} a_{11} \bar{T}_{yz}^0 + a_{12} \bar{T}_{yz}^1 + a_{13} \bar{T}_{yz}^2 &= P_{yz}, \quad a_{21} \bar{T}_{yz}^0 + a_{22} \bar{T}_{yz}^1 = Q_{yz}^0, \\ a_{31} \bar{T}_{yz}^0 + a_{33} \bar{T}_{yz}^1 &= Q_{yz}^2 \end{aligned} \quad \text{--- (6)}$$

左端 $a_{11}' = (\lambda_2 \mu + \lambda) \lambda_2 \lambda_3 4^2 \bar{A}_z^2$, $a_{12}' = 3 \lambda \lambda_3 \bar{A}_y \bar{A}_z^2$, $a_{13}' = 3 \lambda \lambda_1 \bar{A}_z^2 \bar{A}_y$, $a_{21}' = 3 \mu \lambda_3 \bar{A}_y \bar{A}_z^2$, $a_{22}' = \mu \lambda_2 \lambda_3 \bar{A}_y \bar{A}_z^2$, $a_{31}' = 3 \mu \lambda_2 \lambda_2 \bar{A}_z^2$, $a_{33}' = \mu \lambda_2 \lambda_3 \bar{A}_y \bar{A}_z^2$
 $\bar{P}_{yz}^0 = \lambda_2 \lambda_3 \bar{A}_y \bar{A}_z^2 P_{yz}$, $Q_{yz}^0 = \lambda_2 \lambda_3 \bar{A}_y \bar{A}_z^2 q_{yz}$, $Q_{yz}^2 = \lambda_2 \lambda_3 \bar{A}_y \bar{A}_z^2 q_{yz}^2$
式(6)により境界値が決定され、式(2), (4) および変位の応答振幅が得られる。



3. 数値計算例

図1の構造に対して、図3と図4のよろずな荷重および遠近荷重が複数個作用する場合の動的応答を求め、各変位成分の動的応答振幅の絶対値と、静的載荷時の直の比 $|U_{dy}| / U_{st}$ を各加振周波数ごとに計算した。

構造は一枚板 \Rightarrow 12:

弹性係数 $E = 3 \times 10^5 \text{ kg/cm}^2$, 単位重量 2.3 t/m^3 , $\text{土} \cdot \text{P} = 55 \text{ t}$, $\text{補強材} \Rightarrow$ 12 円形断面を想定: 12:

弹性係数 $E_s = 2.1 \times 10^6 \text{ kg/cm}^2$, 単位重量 7.85 t/m^3 , $\text{土} \cdot \text{P} = 55 \text{ t}$, $\text{K}_s = 0.866$, $\eta = 0.1$, $n = k = 8$,

$\lambda_2 = \lambda_3 = 10 \text{ cm}$, $L = 8, 24, 50 \text{ cm}$, 荷重強度は図3, 図4
 \Rightarrow 12: せん断 0.5 kg/cm^2 , 最大値 $0.4 \text{ kg/cm}^2 \times L^2$.

図3 定常荷重

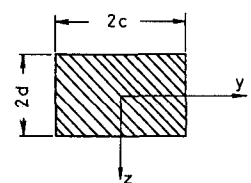


図4 遠近荷重

図5と図6は対称荷重作用下Eときの荷重失速倍の垂直喜立Uと水平喜立Vの動的応答倍率の特性を示している。極軸由はカク振固波数を無次元化した量 $\Omega = b\omega / 2\pi c_s$ である。

b の3種類の値 8, 24, 50 cmに対して、静的喜立は順に小さくなるが、一方動的応答倍率のものは深さへ向うる減少が早くなる。図5においては $b=24$ cm の場合のみ三つの中では応答しにくき結果となるが、図6の水平喜立には $b=50$ cm ほどで $\Omega > 0.2$ では Ω が大きくなると振動応答しやすい結果となる。

図7と図8は逆対称荷重の場合の結果を示す。垂直喜立Uと水平喜立Vは三つの場合はともに同一の同じ位置で応答が大きくなる結果となる。

4.まとめ

動的フーリエ要素法を應用して、内部に豊富な弾性と密度を有する複合材料のある弹性体の表面加振問題を解いた。

数值計算ではカク振固波数と動的応答倍率の関係を調べた。また計算例を小やしくかくして検討を要する点もある。

以上は今後は複合材料離散の効果上つても、弹性係数比、密度比などを考慮して計算し検討したい。

参考文献

- 1) 小塙、南井、篠崎；成層地盤の動的特性(2), 第24回応用力学連合講演会, 1974, p159.
- 2) T. Kobori, Minai, Shinohaki ; Vibration of a Rigid Circular Disc on an Elastic Half-Space Subjected to Plane Waves (Part 2), Theoretical and Applied Mechanics, Vol. 24, 1975, p153
- 3) W. Kohn ; Propagation of Low-Frequency Elastic Disturbance in a Three-Dimensional Composite Material, Journal of Applied Mechanics, 1975, March, p159
- 4) Ewing, Jardetsky, Press ; Elastic Waves in Layered Media, McGraw-Hill, 1957.

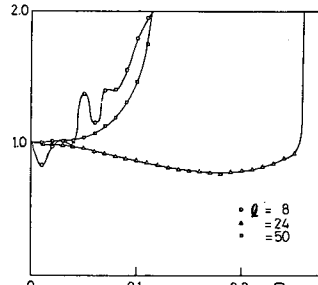


図5 対称荷重 $|U_{dyn}| / U_{st}$

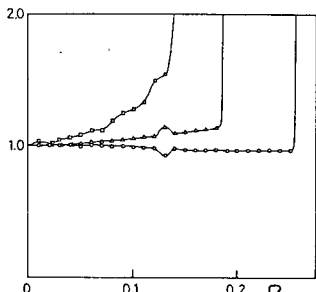


図6 対称荷重 $|V_{dyn}| / V_{st}$

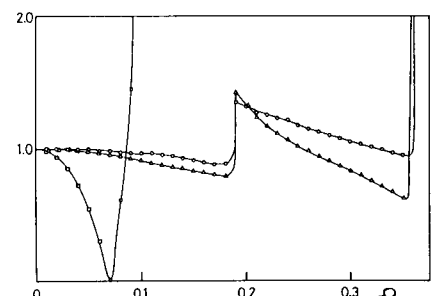


図7 逆対称荷重 $|U_{dyn}| / U_{st}$

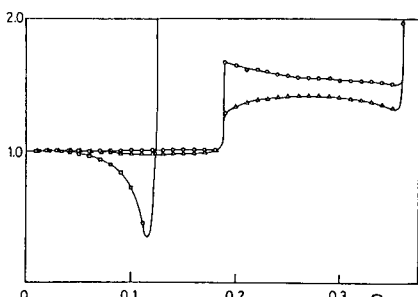


図8 逆対称荷重 $|V_{dyn}| / V_{st}$